

東京電力(株) 正会員 清沢義彦

1. まえがき

地中送電線路用管路はPOFケーブル用防食鋼管を除き $\phi 100 \sim \phi 300$ mmの管を複数本(2~20本程度)集合し、コンクリートあるいは床台(や装置)により固定し地中に埋設配管するものであり、コンクリートにより固定されている管集合体をコンクリート胴締め管路と称する。

管路のコンクリート胴締めは管接続部の固定・水密性保持あるいは管体の補強のために行うが、胴締めをする場合はコンクリートのワーカビリチー、粗骨材の最大寸法および補強効果等を考慮して最も効率的な設計を行なう必要がある。

ここでは管路胴締めの基本事項、コンクリート胴締め管路の強度特性に関する実験および実験結果の設計への適用について報告する。

2. 管路胴締めの基本事項

ここでは当社における地中送電線路用管路の胴締めに関する基本事項について示す。

管路胴締めは全胴締め(管路全長にわたり胴締め)、部分胴締め(管の接続部のみ胴締め)および無胴締めの3種類に分類され、管材との関連を示すと次のとおりである。

- i) 全胴締め；ACP(石綿セメント管), GP(亜鉛メッキ鋼管)曲線部、その他補強を必要とする場合
 - ii) 部分胴締め；HP(遠心力鉄筋コンクリート管), GP直線部
 - iii) 無胴締め；PFP(ポリコンクリート強化プラスチック複合管), プレハブ多孔管(RC製)
- なお管材は収容ケーブルの電気工学的特性、管路埋設条件(地質、地下水位、地盤沈下、環境、工期、管路規模等)および経済性を考慮して選定しなければならない。

また胴締め用コンクリートの一例は次のとおりである。

○設計基準強度；180kg/cm² ○ストップ；18cm ○粗骨材の最大寸法；25mm

3. コンクリート胴締め管路の強度特性に関する実験

コンクリート胴締めの管体補強効果を明確にすることを目的とし、内径 $\phi 150$ mm管を対象にHP, ACP, GP, PFPおよびステンレス鋼管(JIS G3459 SUS 304)の5種類の管材について実験を行った。

地中送電線路用管路は収容ケーブルによって非磁性を要求される場合があるが、この場合は一般にACPあるいはPFPを用いるが、今回の実験では非磁性管の一つとしてステンレス鋼管も取りあげてみた。

以下に実験の概要を示す。

(1). 供試体諸元

供試体の形状は図-1に示すとおりであり、管のコンクリート被り(巻厚) a は a の変化に伴うコンクリート胴締め管路の強度特性を把握するために

○標準値、○標準値+20mm, ○標準値+40mm

の3種類とした。ただしHP, ACPについては標準値のみとした。

ここで標準値としては胴締め用コンクリートのワーカビリチー、粗骨材の最大寸法の一例化より、管ソケット部において $a=40mm$ が標準値であるため、ここ

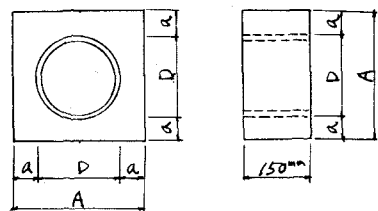


図-1

て実験する管本体については $40\text{mm} + (\text{ソケット外径}-\text{本体外径})/2$ を標準値とした。

供試体の寸法については実験結果とともに表-2を示す。

(2) コンクリートの示す配合

表-1に示す。

(3) 供試体の作成および養生

工事現場にて実際の工事と同様の条件

でコンクリートを打設・練め固めを行なう。

養生はムシロをかぶせ自然養生を行なう。

(4) 載荷方法

図-1の供試体において上・下面等分布荷重載荷とし破壊までを行なう。

(5) 実験結果

① コンクリート強度

圧縮: 200kg/cm^2 曲げ: 23kg/cm^2

② 破壊荷重および破壊状況

破壊荷重を表-2に示す。ここで破壊とは荷重が上がりなくなった状態を指す。主なる実験結果を要約すると

- 破壊時にあってもセメント系の管材、すなわち HP, ACP は管とコンクリートの付着は切れないが、他の管材は破壊時あるいはその直前に管とコンクリートの付着の一部が切れる。
- 破壊は HP を除くと崩壊とコンクリートの崩壊であるが、HP は管体そのものも破壊する。
- 破壊時のコンクリート面等分布荷重 σ_c を表-2に示すが、
 - HP, ACP のコンクリート崩壊の場合、 σ_c は 80kg/cm^2 程度である。
 - PFP, GP, ステンレス鋼管の場合の σ_c は $60 \sim 70 \text{kg/cm}^2$ であり、管材による有意差はほとんどない。またコンクリート側の増加に伴り、一般に若干の増加傾向はあるが、ほとんど有意差はない。

4. 実験結果の設計への適用

埋設条件および管材の種々の特性をふまえ、実験結果のコンクリート崩壊管路の設計への適用について以下に記す。なお今日の実験は $\phi 150\text{mm}$ 管について実施したが、実験結果は $\phi 150\text{mm}$ 以下の管については管の强度特性の関連より適用可能であり、 $\phi 200\text{mm}$ 以上の管については直接的には適用できないことを付記しておく。

不等沈下の恐れがなく、通常の土被りが確保でき場合、すなわち一般的な埋設条件の場合には ACP, GP (曲線部) は全崩壊、HP, GP (直管部) は部分崩壊とし、崩壊コンクリート標準巻厚は“管ソケット外径 + 40mm”でよい。また土被りが浅く、路面荷重の影響を受け場合は外傷防止上の要因より全崩壊を原則とし、管材は GP を標準とする。ただし非磁性を要求される場合は PFP を標準とする。さらに崩壊コンクリート標準巻厚は外傷防止等を加味し“管ソケット外径 + 80mm”を標準とする。

不等沈下を受けた場合は埋設条件、推定沈下量等を加味し、個々に設計する必要がある。

表-1 示す配合 ($\text{GCK}=180 \text{kg/cm}^2$)

| 粗骨材 最大寸法 (mm) | 砂(アーベル 細骨材 (mm)) | 水 セメント 比 (%) | 粗骨材率 (%) | 単位量 (kg/m ³) | | | |
|---------------------|------------------------|-----------------------|-------------|--------------------------|-----|------|-----------------------|
| | | | | 水 | W | セメント | 粗骨材 S 粗骨材 G 減水剤 |
| 25 | 18±1 | 4±1 | 64 | 44 | 162 | 253 | 832 1081 0.63 |

* 減水剤はポジリス N° 5 L を使用

表-2 供試体および実験結果一覧表

| 管材 種別 | I (D=202mm) | II (D=177mm) | A (mm) | 破壊荷重 P (ton) | 等分布荷重 σ_c (kg/cm ²) |
|----------------------------|----------------|-----------------|-----------|--------------------|---|
| HP (D=202mm) | I | 79 | 360 | 42.4 | 79 |
| ACP (D=177mm) | I | 61.5 | 300 | 37.3 | 83 |
| PFP (D=177mm) | I | 58 | 290 | 27.6 | 63 |
| | II | 78 | 330 | 33.6 | 68 |
| | III | 98 | 370 | 39.9 | 72 |
| GP (D=165.2mm) | I | 57.4 | 280 | 27.1 | 65 |
| | II | 77.4 | 320 | 29.4 | 61 |
| | III | 97.4 | 360 | 36.2 | 67 |
| ステンレス 鋼管 (D=165.2mm) | I | 57.4 | 280 | 27.7 | 66 |
| | II | 77.4 | 320 | 36.7 | 76 |
| | III | 97.4 | 360 | 37.4 | 69 |

N.B. 1. a, A は図-1 参照

2) 破壊荷重 P は供試体 3 例の平均値

3) 破壊時等分布荷重は次式より算出

$$\sigma_c = P / 15A \quad (P: \text{kg})$$